

## تأثير السمك على بعض الخصائص الفيزيائية لاغشية اوكسيد النحاس النانوية

المحضر بطريقة الترسيب بالرش الكيميائي

علي عبدالله حسن<sup>1\*</sup> ، زهير ناجي مجید<sup>2</sup>

<sup>1</sup>- قسم الفيزياء، كلية التربية للعلوم الصرفة، جامعة تكريت، العراق

<sup>2</sup>- قسم الفيزياء، كلية التربية ببنات، جامعة كركوك، العراق

البحث مستل من رسالة ماجستير الباحث الأول

Email<sup>2</sup>: zuheernaji@uokirkuk.edu.iq

Email<sup>1</sup>: aliphysics223@gmail.com

### مستخلص:

في هذا البحث تم دراسة الخصائص التركيبية والبصرية لاغشية أوكسيد النحاس ( $\text{CuO}$ ) النقية بطريقة الرش الكيميائي الحراري لأسماك مختلفة والمتسبة على قواعد زجاجية ذات ابعاد  $5.2 \times 5.2 \text{ cm}$  وبسمك  $1-12 \text{ mm}$  عند درجة حرارة  $(300^\circ\text{C})$  باستخدام تقنية الرش الكيميائي الحراري. حيث أظهرت نتائج البحث بالنسبة لفحوصات تقنية حيود الاشعة السينية (XRD) تناقص في قيم الحجم الحبيبي البلوري بالنسبة الجميع الاغشية المحضرة وأنها كانت ذات تركيب متعدد التبلور ومن احادي الميل وبالتجاه سائد (111) وكذلك يبنت نتائج فحوصات (AFM) زيادة في قيم كل من معدل خشونة السطح ومتوسط الجذر التربيعي (RMS) مع زيادة نسبة السمك الاغشية المحضرة، كما يبنت نتائج الفحوصات البصرية باستخدام مطياف الاشعة فوق البنفسجية (-UV-VIS) زيادة في قيم الامتصاصية كلما ازداد سمك الغشاء اما فجوة الطاقة البصرية فكانت تتناقص قيمتها مع زيادة السمك، تأثير هول Hall. وتم دراسة الخواص الكهربائية بطريقة تأثير هول وقد ظهرت اوكسيد النحاس النانوية بموصالية نوع (P-type) وان تركيز حاملات الشحنة ( $n_{\text{H}}$ ) تزداد مع زيادة السمك ، التحسسية يبنت نتائج التحسسية للغاز ان زيادة التحسسية الاغشية تزداد مع زيادة درجة الحرارة.

الكلمات المفتاحية: اغشية رقيقة، اوكسيد النحاس، خواص تركيبية، خواص بصرية، متخصص غازي، طريقة الرش الكيميائي الحراري.

## Effect of thickness on some physical properties of CuO Nano thin films prepared by Thermal chemical spraying method

Ali Abdullah Hassan<sup>1\*</sup> ، Zuheer N. Majeed<sup>2</sup>

<sup>1</sup> Department of Physics, College of Education for Pure Sciences, University of Tikrit, Iraq

<sup>2</sup> Department of Physics, College of Education for Woman University of Kirkuk, Iraq

E-mail <sup>1</sup>: Aliphysics223@gmail.com E-mail <sup>2</sup>: zuheernaji@uokirkuk.edu.iq

### Abstract :

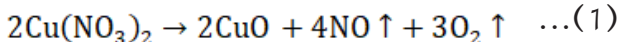
In this research, the structural and optical properties of pure copper oxide ( $\text{CuO}$ ) films were studied by a method of thermochemical spraying of different thicknesses and deposited on glass bases with dimensions of  $(5.2 \times 5.2) \text{ cm}$  and thickness of  $(1-12) \text{ mm}$  at a temperature  $(300^\circ\text{C})$  using the thermochemical spray technique. The results showed, with regard to X-ray diffraction (XRD) technical tests, a decrease in the values of the crystalline particle size for all the prepared films, and that they were of a polycrystalline structure, monoclinic, and in the dominant direction (111). Likewise, the results of the (AFM) tests showed an increase in the values of each of the average surface roughness and root mean square (RMS) with increasing thickness of the prepared films. The results of optical tests using ultraviolet spectroscopy (UV-VIS) also showed an increase in the absorbance values as the thickness of the film increased, while the optical energy gap decreased in value with the increase in thickness and The Hall Effect. The electrical properties are studied using the Hall Effect method, and copper oxide nanoparticles have appeared. With conductivity of the P-type and the concentration of charge carriers ( $n_{\text{H}}$ ) increases with increasing thickness and sensitivity. Gas sensitivity results showed that the sensitivity of films increases with increasing temperature.

**Keywords:** thin films, copper oxide, structural properties, optical properties, gaseous sensor, thermal chemical spray method.

والمجموعة الثانية هي الطريقة الكيميائية طريقة الترسيب بالحمام الكيميائي والترسيب الذري والرش الكيميائي الحراري [7].

### 3 - الجزء العملي Experimental part :

لتحضير محلول اوكسيد النحاس (CuO) النقي يتتم ذلك باستخدام مادة نترات النحاس المائية ذي اللون الأزرق والتي لها الصيغة الكيميائية (Cu (NO<sub>3</sub>)<sub>2</sub>.3H<sub>2</sub>O) وزنها الجزيئي (241.54 mol/g) يحضر محلول نترات النحاس المائية بتركيز (M 0.1) وذلك بإذابتها في (100 ml) من الماء المقطر مع التحريك بوساطة الخلط المغناطيسي بوجود عامل مساعد الحرارة للحصول على محلول متجانس ازرق اللون وبعد رش محلول وترسيبه على زجاجية ساخنة نحصل على غشاء CuO وفقاً للمعادلة الكيميائية التالية:



### النتائج والمناقشة

#### Results and Discussion

1. نتائج فحوصات حيود الاشعة السينية (XRD) قد اظهرت نتائج التشخيص حيود الاشعة السينية في الشكل (1) للعينات بان طيف الاشعة السينية لاغشية (CuO) بأنها ذات تركيب متعدد التبلور (Polycrystalline) ومن النوع احادي الميل (Monoclinic) وهذه النتائج [8] حيث نلاحظ نمط الحيود الذي رسمة الغشاء في النطاق (20°-80°) وجود قمتين (Peaks) للمستويين (002) (111) عند الزاويتين 36.020°، 39.512° على التوالي وبالاعتماد على بطاقة القياس العالمية (ASTM) American Standard of Testing Materials تحمل الرقم (041-00-0254) والعائد لأوكسيد

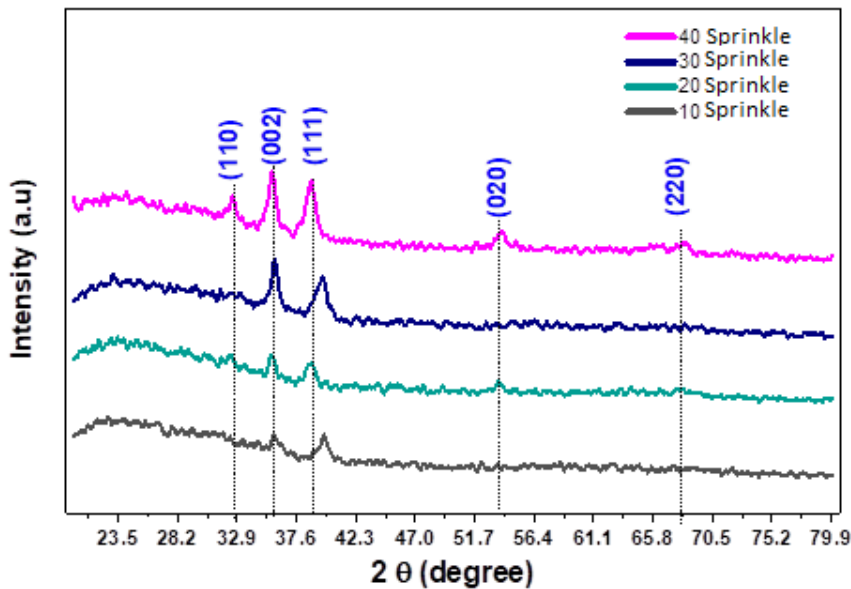
### 1- المقدمة Introduction

تعتبر تقنية الاغشية الرقيقة من اهم التقنيات المهمة في فيزياء الحالة الصلبة واصبحت من المواد المهمة في التطبيقات الالكترونية لما تميز هذه المواد من حيث توصيليتها للحرارة والضوء وال المجال المغناطيسي [1] ونظراً لما يظهره أوكسيد النحاس من معامل امتصاص عالي للأشعة الكهرومغناطيسية في المنطقة المرئية من الطيف الكهرومغناطيسي فهو يستخدم في التطبيقات الشمسية ومنها الخلايا الشمسية بالإضافة الى تطبيقات الـ Thin Films متحسسات الغاز [2] الغشاء الرقيق [3] ان مصطلح الأغشية واحد واعده نانومترات [3] ان مصطلح الأغشية الرقيقة من اهم المفاهيم التي كان لها اهمية في دراسة تطوير المواد الشبة الموصلة وتم معرفة مجموعة من خصائصها الكيميائية والفيزيائية المميزة والتي تكون مختلفة عن خصائص المواد التي قامت بتكونيتها [4] اعتمادها على الطريقة التي يتم تحضيرها فأنه بالإمكان تغيير الخواص الكهربائية والبصرية لهذه الأغشية كاستخدام انواع مختلفة من مواد التشويب مع امكانية تغيير نسبها او درجة حرارة القاعدة [5] وتستخدم في تطوير الحاسبات الرقمية واستخدمت في الدوائر المتكاملة في دوائر لقلق والفتح وصناعة الترانزستورات والخلايا الشمسية والمتحسسات الغازية وفي المجالات البصرية وفي صناعة المرشحات البصرية واجهزة الاستنساخ [6] ويمكن تصنيف طائق تحضير الاغشية الى مجموعتين الأولى هي الطائق الفيزيائية وتتضمن طريقة الاقتalam بالليزر الاطلاء الایوني التبخر الحراري في الفراغ الترذيد،

الغشاء اوكسيد النحاس ( $\text{CuO}$ ) لم تؤدي الى تغير في شكل التركيب البلوري والطور الذي تكونت مادة الغشاء وانها عملت كمحفز لنمو وانتظام تراصف وبناء البلورات وهذا السلوك يتطابق مع الباحث [9] وعند زيادة سمك الغشاء الى 20 رشة ظهرت قمتين للمستويين (220-020) عند الزاويتين ( $53.46^\circ$ - $68.14^\circ$ ) [10] وقد ظهرت هناك قمتين للمستويين (002، 110) عند الزاويتين ( $32.423^\circ$ - $35.577^\circ$  على التوالي وبالاعتماد على البطاقة القياسية العالمية (ASTM) والتي تحمل الرقم (0254-00-041) ونلاحظ زيادة في نمو المستويات البلورية مع زيادة سمك الغشاء حيث ان عملية في زيادة سمك الغشاء اوكسيد النحاس ( $\text{CuO}$ ) لم تؤدي الى تغير في شكل التركيب البلوري والطور الذي تكونت مادة الغشاء وانها عملت كمحفز لنمو وانتظام تراصف وبناء البلورات وهذا السلوك يتطابق مع الباحث [9] وعند زيادة سمك الغشاء الى 20 رشة ظهرت قمتين للمستويين (220-020) عند الزاويتين ( $53.46^\circ$ - $68.14^\circ$ ) [10] وقد ظهرت هناك قمتين للمستويين (002، 110) عند الزاويتين ( $32.423^\circ$ - $35.577^\circ$  على التوالي وبالاعتماد على البطاقة القياسية العالمية (ASTM) والتي تحمل الرقم (0254-00-041) ونلاحظ زيادة في نمو المستويات البلورية مع زيادة سمك الغشاء حيث ان عملية في زيادة سمك

الجدول (1) النتائج المستحصلة من نماذج XRD لأغشية أوكسيد النحاس ( $\text{CuO}$ ) وبعدد رشات مختلفة

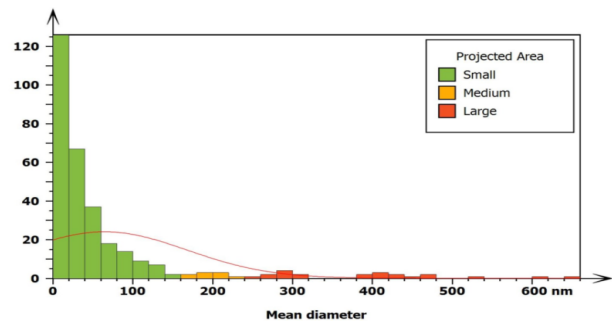
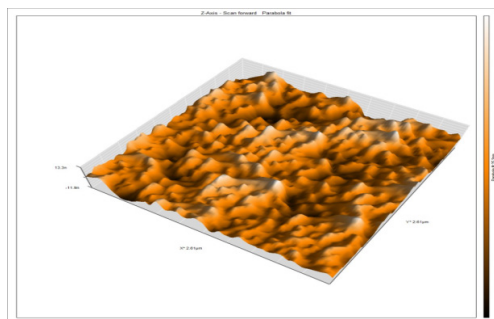
| Sample      | Formula | $\theta_2$ | $\theta - 2$<br>Stander | d(A°)   | Intensity | FWHM<br>(deg) | (hkl) | System     | C.z(nm) |
|-------------|---------|------------|-------------------------|---------|-----------|---------------|-------|------------|---------|
| 10 sprinkle | CuO     | 35.7368    | 35.43                   | 2.51257 | 22.83551  | 0.3936        | 002   | Monoclinic | 19.202  |
|             | CuO     | 39.757     | 38.94                   | 2.26727 | 40.35182  | 0.1968        | 111   | Monoclinic | 37.947  |
| 20 sprinkle | CuO     | 32.425     | 32.50                   | 2.76121 | 16.80957  | 0.47232       | 110   | Monoclinic | 16.144  |
|             | CuO     | 35.577     | 35.43                   | 2.52343 | 34.5849   | 0.31488       | 002   | Monoclinic | 24.014  |
|             | CuO     | 38.841     | 38.94                   | 2.31858 | 29.56704  | 0.3936        | 111   | Monoclinic | 19.027  |
|             | CuO     | 53.629     | 53.46                   | 1.70898 | 15.54107  | 0.47232       | 020   | Monoclinic | 15.005  |
| 30 sprinkle | CuO     | 35.857     | 35.43                   | 2.50437 | 72.41597  | 0.3936        | 002   | Monoclinic | 19.196  |
|             | CuO     | 39.818     | 38.94                   | 2.26393 | 83.11107  | 0.0787        | 111   | Monoclinic | 94.874  |
| 40 sprinkle | CuO     | 32.60154   | 32.50                   | 2.74668 | 36.91241  | 0.1968        | 110   | Monoclinic | 38.729  |
|             | CuO     | 35.70723   | 35.43                   | 2.51459 | 102.1748  | 0.1968        | 002   | Monoclinic | 38.408  |
|             | CuO     | 38.76188   | 38.94                   | 2.32317 | 84.01735  | 0.15744       | 111   | Monoclinic | 47.581  |
|             | CuO     | 53.69764   | 53.46                   | 1.70698 | 31.46549  | 0.11808       | 020   | Monoclinic | 60.002  |
|             | CuO     | 68.35642   | 68.14                   | 1.37234 | 11.62572  | 0.47232       | 220   | Monoclinic | 13.909  |



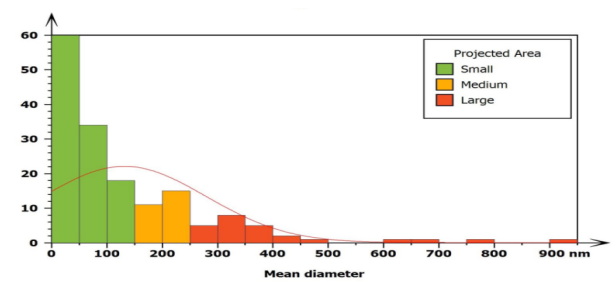
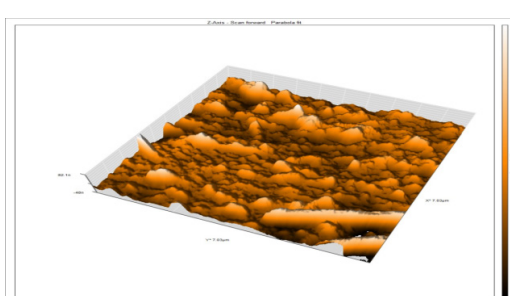
الشكل (١) : الشكل نموذج حيود الاشعة السينية (XRD) لأغشية أوكسيد النحاس النقية

## 2 - فحوصات مجهر القوة الذرية (AFM) Atomic Force Microscope

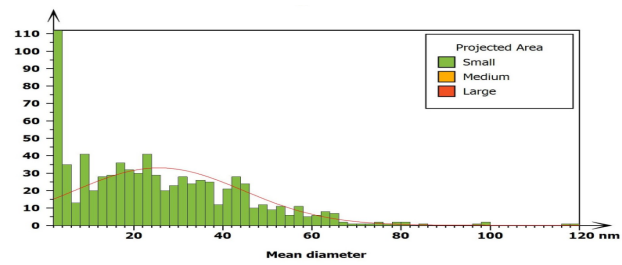
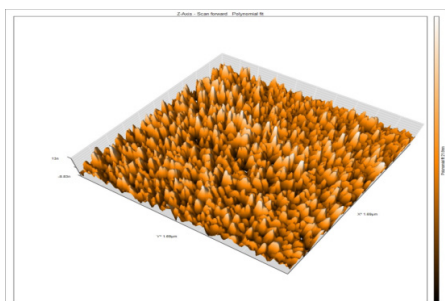
ومن حلال هذا الفحص حيث يتم دراسة طبوغرافية وتضاريس سطوح الاغشية المحضره عند درجة حرارة (300°C) باستخدام تقنية الرش الكيميائي الحراري حيث تم مسح العينات بالبعد ثلاثي البعد وتجانس في سطوح الغشية المحضره وكذلك الزيادة في حجم كل من خشونة السطح والجذر التربيعي لمربع متوسط الخشونة (RMS) مع زيادة الحجم الحبيبي الجمیع الاغشية المحضره عند زيادة سمك الغشاء [12].



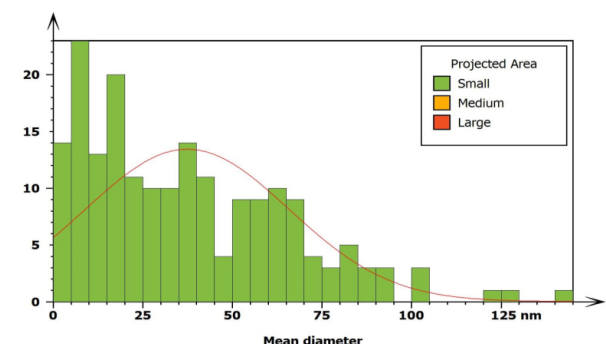
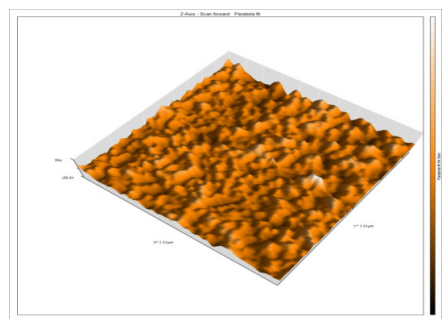
10 Sprinkle



20 Sprinkle



30 Sprinkle



40 Sprinkle

الشكل (2): يوضح فحوصات مجهر القوة الذرية (AFM) لأغشية أوكسيد النحاس النقيه ويعد رشات مختلفة (10 رشات، 20 رشة، 30 رشة، 40 رشة)

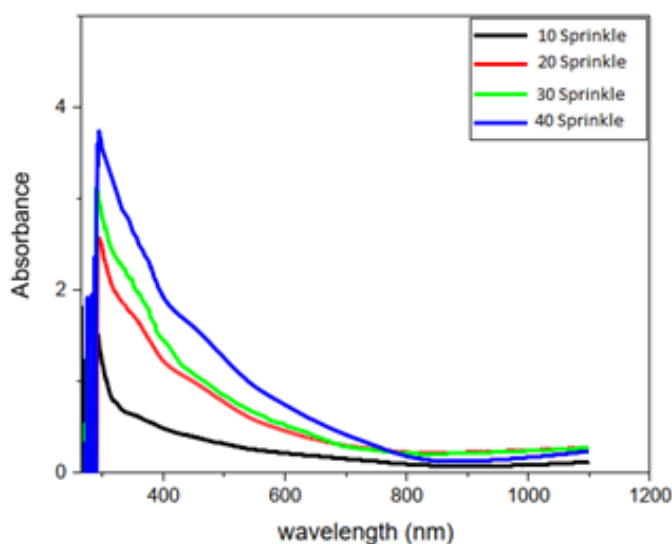
### الجدول (2): نتائج مجهر القوة الذرية (AFM)

| Sample      | Average diameter (nm) | Surface roughness (nm) | Root mean square (nm) |
|-------------|-----------------------|------------------------|-----------------------|
| 10 sprinkle | 25.65                 | 7.123                  | 8.825                 |
| 20 sprinkle | 37.39                 | 20.43                  | 25.78                 |
| 30 sprinkle | 64.38                 | 22.13                  | 26.07                 |
| 40 sprinkle | 131.6                 | 34.01                  | 42.17                 |

ويوضح الشكل (3) طيف الامتصاصية دالة الطاقة الفوتون الساقط لأغشية اوكسيد النحاس النقية في عددرشات مختلفة (بسمكة مختلفة) إذ تبين من الشكل ان امتصاصية الاغشية المحضرة النقية تبدا بـ الزيادة التدريجية مع زيادة طاقة الفوتونات الضوئية الساقطة (نقصان في الطول الموجي) وادت زيادة السمك الى زيادة في قيمة الامتصاصية، وذلك ان الامتصاصية تكون اعظم ما يمكن عند الاطوال الموجية القصيرة [13].

### 3 - الامتصاصية :Absorbance

ان دراسة طيفي الامتصاصية فائد مهمه في تحديد التطبيق العلمي ، وتعتمد الامتصاصية على طاقة الفوتونات الضوئية الساقطة وعلى نوع المادة وطبيعة تركيبها البلوري وقد اجريت جميع القياسات طيفي الامتصاصية ضمن مدى الاطوال الموجية nm ( 1100 - 3000 ) لجميع الأغشية المحضرة النقية.



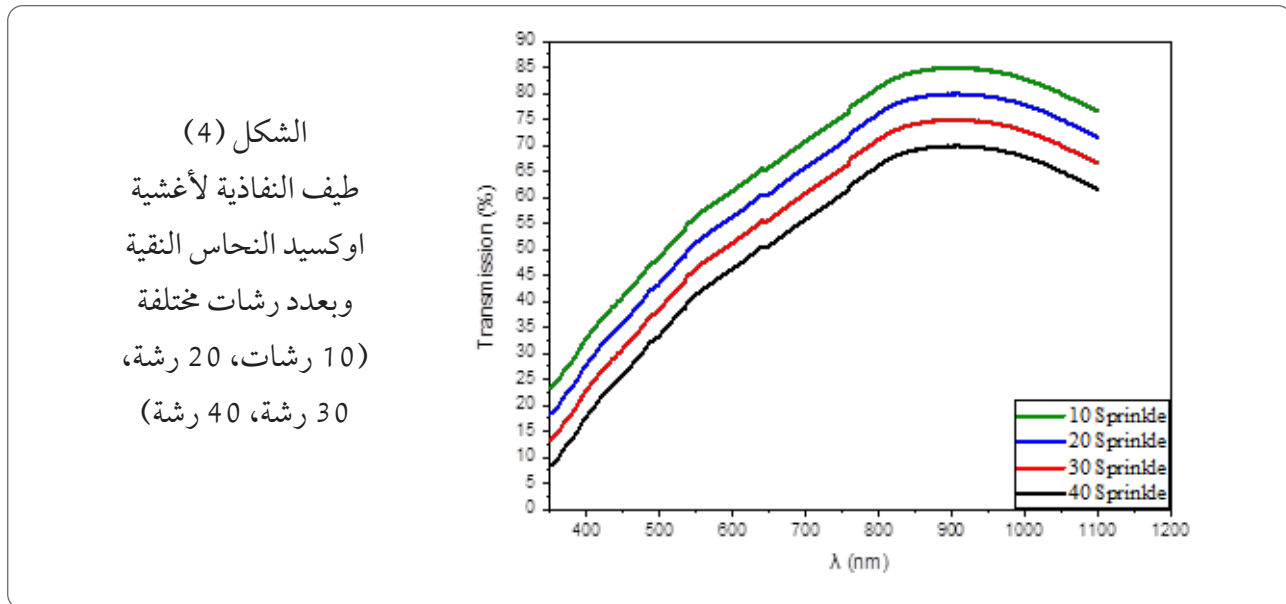
الشكل (3)  
طيف الامتصاصية  
لاغشية اوكسيد  
النحاس النقية العدد  
رشات مختلفة  
10 رشات، 20  
رشة، 30 رشة،  
40 رشة)

(4) اذ تتناسب النفاذية عكساً مع سمك الغشاء، فالسمك العالى يوفر فرصه اكبر لحصول ظواهر الامتصاص البصري المختلفة في الغشاء وبالتالي توھين جزء اكبر من الشعاع الساقط [14] وتتغير النفاذية مع الطول الموجي وطاقة الفوتون الساقط

### 4 - النفاذية Transmittance

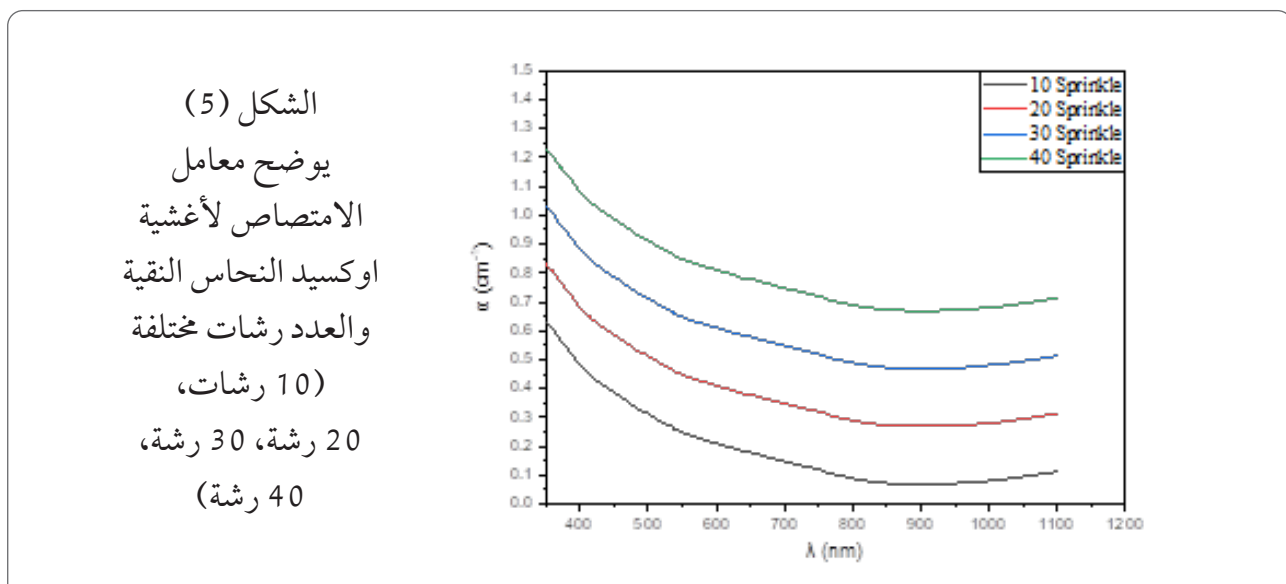
يعتمد طيف النفاذية في الاغشية الرقيقة على التركيب الكيميائي والبلوري للمادة ويعتمد على سمك الغشاء وتضاريس السطح ، وتم حساب النفاذية عند مدى الاطوال الموجية 1200 nm -

ويبيّن الشكل (4) طيف النفاذية لاغشية (CuO) تقل مع زيادة طاقة الفوتون وكذلك نلاحظ بان النفاذية تقل مع زيادة السمك . وبالسماك المختلفة ونلاحظ من الشكل بان النفاذية



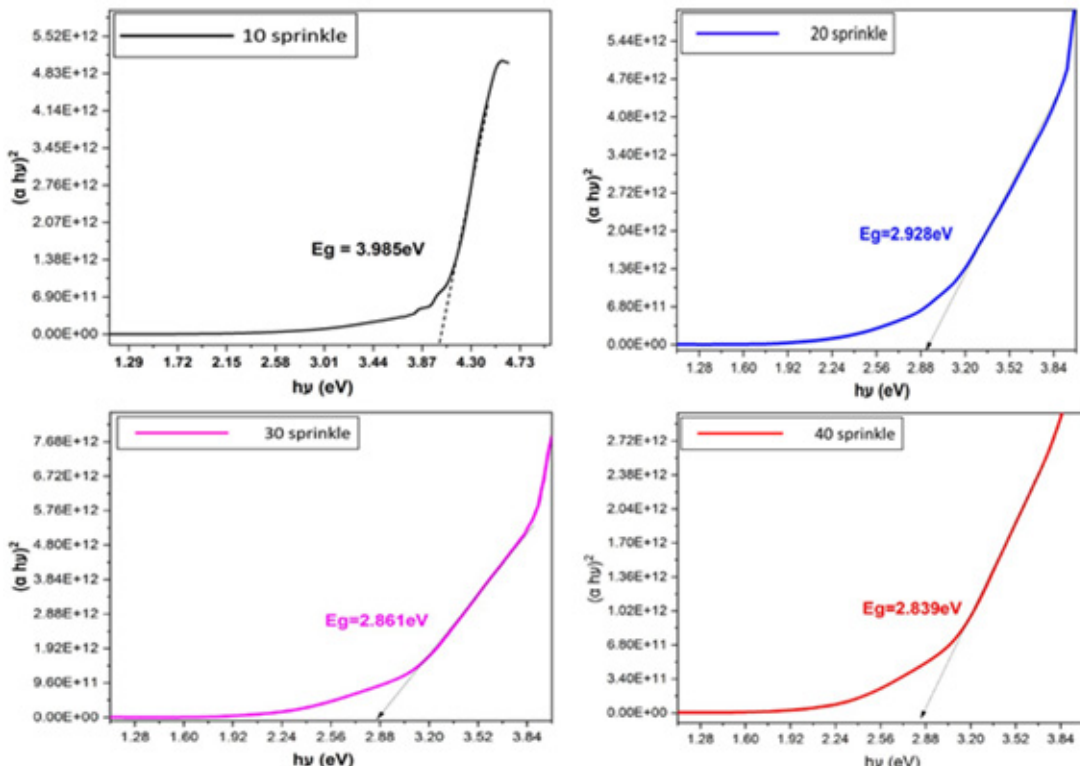
الامتصاص يتصرف بسلوك مشابه لسلوك طيف الامتصاصية وهذا يرجع الى طبيعة العلاقة بينهما [15] ونلاحظ من الشكل ان معامل الامتصاص يزداد بزيادة السمك ، ان زيادة سمك الاغشية أدت الى زيادة عدد التصادمات مع المادة بشكل كبير مسببة زيادة في قيم معامل الامتصاص.

5- معامل الامتصاص **Absorption Coefficient** يعرف معامل الامتصاص بانه نسبة لنقصان في طاقة الاشعاع بالنسبة لوحدة المسافة باتجاه انتشار الموجة داخل الوسط ، وشكل (5) يبيّن منحنى معامل الامتصاص كدالة للطول الموجي لاغشية (CuO) إذ يتضح من الشكل ان معامل



قيم فجوة الطاقة الأغشية النقية (3.985eV) وعندة زيادة سمك الغشاء حيث وجد ان قيم فجوة الطاقة تقل بزيادة السمك حتى تصل الى (2.839eV) ويعود السبب للنقصان في قيم فجوة الطاقة الى ان تكون المستويات (CuO) داخل فجوة الطاقة ويزداد عرض هذا المستويات بزيادة السمك مما يؤدي الى تناقص في عرض الفجوة وهذا يتفق مع ما توصل اليه [16].

**6 - فجوة الطاقة البصرية Optical Energy Gap**  
يتتم حساب فجوة الطاقة البصرية وحسب الشكل (6) حيث توضح العلاقة  $\alpha h\nu^2$  مع قيم (hv) لطاقة الفوتون الساقط ومن حلال الرسم امتداد خط مستقيم بعد حافة الامتصاص الاساسية ليقطع محور طاقة الفوتون عند الصفر ( $\alpha h\nu = 0$ ) حيث يتم حساب فجوة الطاقة للانتقالات الالكترونية المباشرة (CuO) النقية حيث وجدت ان



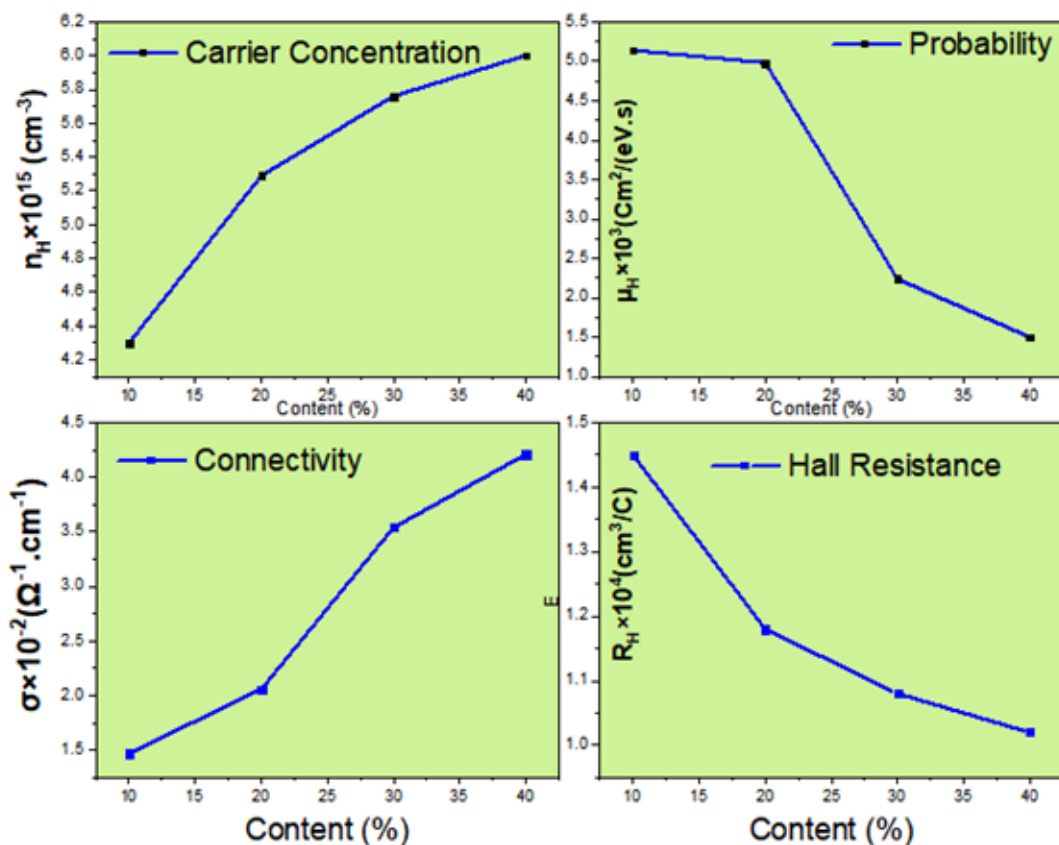
الشكل (6) يوضح فجوات الطاقة لأغشية اوكسيد النحاس النقية ولعدد رشات مختلفة (10 رشات، 20 رشة، 30 رشة، 40 رشة)

بموصلية نوع (P-type) وبذلك تكون ناقلات الشحنة الاغلبية هي الفجوات مع زيادة حاملات الشحنة ( $n_H$ ) ومع زيادة التوصيلية الكهربائية ( $\sigma$ ) فيما انخفضت قيمة الاحتمالية ( $\mu_H$ ) ومعامل Hall ( $R_H$ ) والجدول يوضح () يبين قيم المعلمات

**7 - تأثير هول Hall Effect**  
يعتمد تأثير هول في الاغشية الرقيقة متعددة التبلور على ظروف الترسيب والبنية البلورية وتمت دراسة الخواص الكهربائية بطريقة تأثير هول وقد ظهرت اغشية اوكسيد النحاس (CuO) النانوية

توليد مستويات ثانوية بين حزمة التكافؤ والتوصيل لذلك مكن الالكترونات من شغل هذه المستويات اثناء انتقال بين الحزم والتي بدورها تؤدي الى زيادة عدد الذرات الوهبة [17].

الرئيسية من تأثير هول ويوضح تركيز حاملات الشحنة ( $n_H$ ) واحتمالية هول ( $\mu_H$ ) كدالة لعدد الرشات ، وتبين ان حاملات الشحنة ( $H\mu$ ) تزداد مع زيادة عدد الرشات ويرجع السبب زيادة حاملات الشحنة الى خفض الجهد الحاجز وذلك يؤدي الى

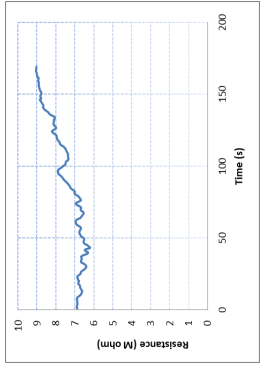
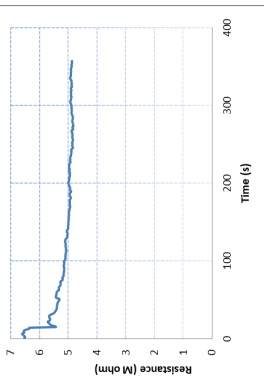
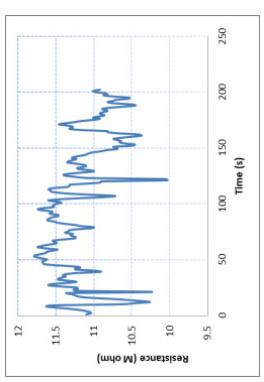
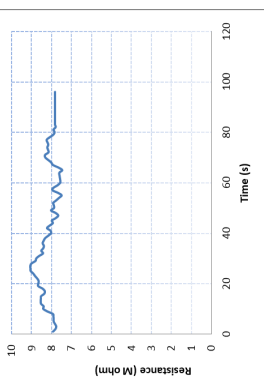


الشكل (7) يوضح معلمات هول لأغشية اوكسيد النحاس النقية

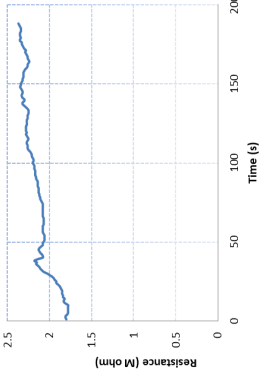
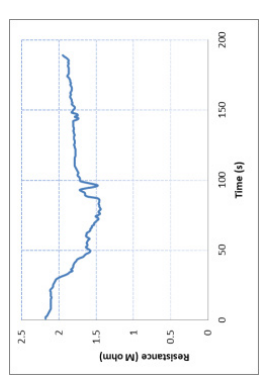
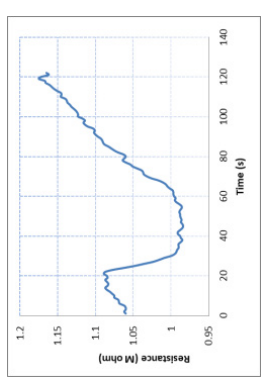
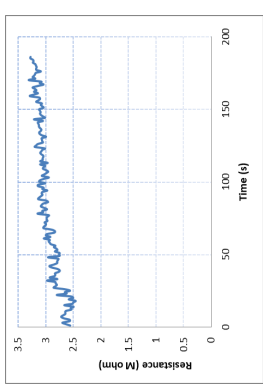
كداة للزمن إذ يلاحظ ان تأثير السمك يؤدي الى زيادة التحسسية عند درجة الحرارة (100°C - 150°C) كما نلاحظ الى زيادة تحسسية الغشاء (CuO) عند درجة الحرارة (200°C) ثم نسجل اعلى تحسسية في درستنا الحالية استخدمنا اكسيد اشباه الموصلات للكشف عن التراكيز قليلة للغازات الخطيرة الموجودة في الهواء الجوي والذي يعتبر ( $\text{NO}_2$ ) من الغازات المؤكسدة اثقل من الهواء وبالتالي يمكن ان يصعد من الطبقات القريبة من سطح الارض

**8- التحسسية Sensitivity**  
اظهرت نتائج المحسن الغازي ان زيادة الحساسية الاغشية تزداد مع زيادة درجة الحرارة ويوضح الشكل (8) ان حساسية جميع الاغشية تزداد مع درجة حرارة التشغيل ، ويرجع السبب الى زيادة معدل التفاعل السطحي للغشاء مع الغاز المستهدف، كذلك نلاحظ زيادة في التحسسية مع زيادة نسبة عدد الرشات مما يدل على ظاهرة امتزاز الغازات استجابة تحسسية الغشاء لغاز ( $\text{NO}_2$ )

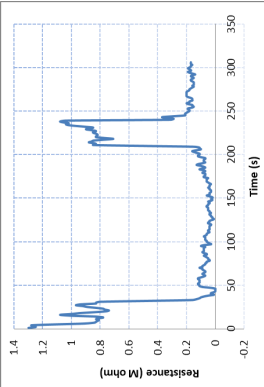
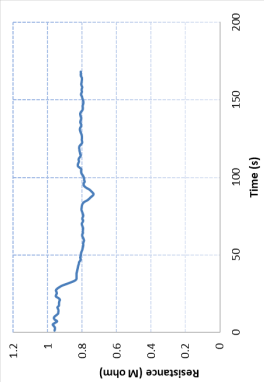
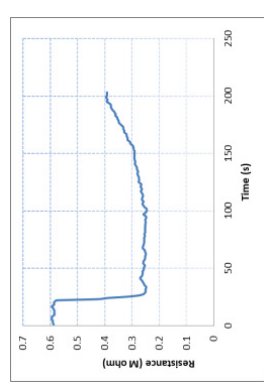
بتراكيز عالية، حيث يعتمد مبدأ ميكانيكية الكشف على عملية امتزاز الغاز على سطح اوكسيد النحاس المعتمد على وجود العيوب الحجمية وعلى التركيب البلوري للغشاء حيث تظهر ذرات الاوكسجين على شكل ايونات (O) المادة CuO النانوية على سطح الغشاء التي تعمل على تكوين طبقة استنزاف ونمو حاجز جهد عند الحدود الحبيبية وتمثل مصدر لقنصل جزيئات الغاز الممتاز على سطح المحسس [17] ان ايونات الاوكسجين (O) لمادة (CuO) النانوية الموجودة على السطح عند الحدود الحبيبية سوف تمتثل من قبل الغاز اي سوف يقل تركيز حاملات الشحنة وينمو حاجز الجهد التغير في قيمة المقاومة حيث تزداد قيمتها بزيادة درجة الحرارة للأغشية النقية (CuO) ويظهر تأثير السمك على المقاومة الكهربائية للأغشية حيث ان قيمة المقاومة تنخفض تدريجا مع زيادة السمك وان سبب انخفاض المقاومة حيث يتم انشاء عدد اضافي من الالكترونات الحررة وكما نلاحظ انخفاض كبير في منحني المقاومة في درجة حرارة (200°C) ومن خلال التحسس البناء البلوري وزيادة الحجم الحبيبي ن، فضلا عن ذلك فأن زمن حدوث التفاعل اثناء عملية التحسس والرجوع الى الحالة الابتدائية والذي يعرف في زمن (الاستجابة) هو من الجوانب المهمة التي تحدد كفاءة المحسس، وكلما كانت الاستجابة اسرع زادت من كفاءة المحسس ويبين الشكل (9) والشكل (10) والشكل (11) قيم كل من التحسسية وزمن الاستجابة وزمن الاسترجاع لجميع الاغشية المحضره وهي تتفق مع الدراسة [18].



100  
°C



150  
°C



200  
°C

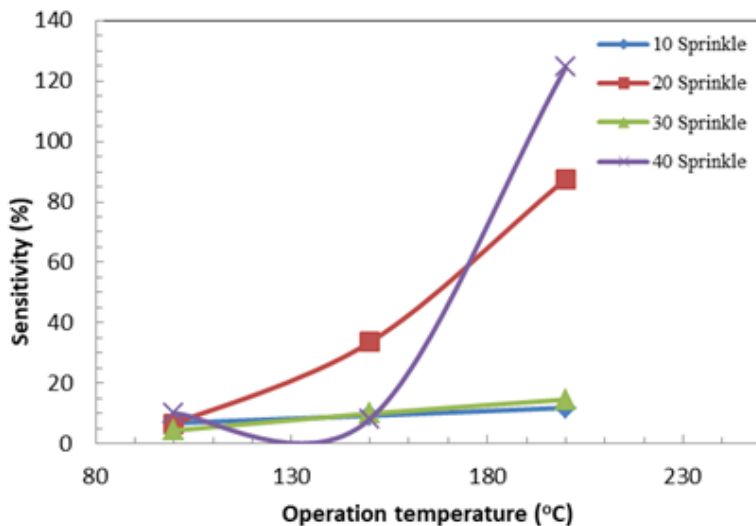
Sprinkles 40

Sprinkles 30

Sprinkles 20

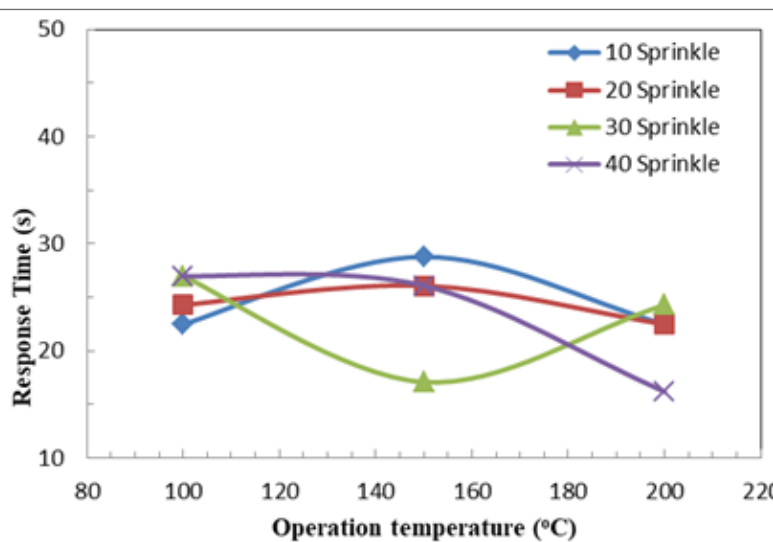
Sprinkles 10

الشكل (8) يوضح المقاومة كدالة للزمن بدرجات حرارة تشغيل مختلفة لأغشية أو كسيبد النحاس النقيه وبعد رشات مختلفة (10 ، 20 ، 30 ، 40 رشة )



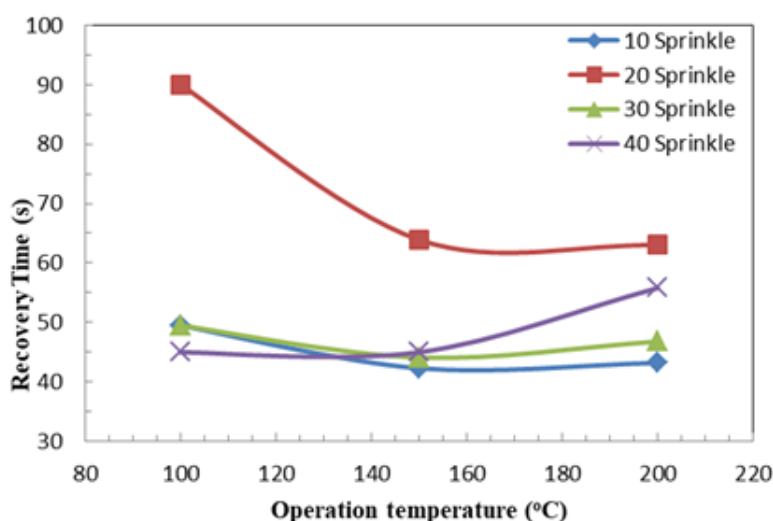
الشكل (9)

يوضح تغير التحسسية  
لاغشية اوكسيد  
النحاس النقيه مع  
تغير درجات حرارة  
التشغيل



الشكل (10)

يوضح وقت  
الاسترداد لاغشية  
اوكسيد النحاس  
النقيه



الشكل (11)

يوضح وقت  
الاستجابة لاغشية  
اوكسيد النحاس  
النقيه

### المصادر

1. S.M. Sze," semiconductors Devices", gohn Wiley and sons' Ins, (2002).
2. K. L. chopra,I. Kaur," thin Film Device Applications," plenum press, New York(1983).
3. K.D.Loavaer" Thin Films, wykoham publications, London,(1971).
4. محمد امين سليمان، احمد فؤاد باشا، وشريف احمد خيري،» فيزياء مطبعة دار الفكر العربي (0002).
5. H.A.macleod,"Thin Film optical Fillers," 3rd Ed"(2001).
6. K.Laurent, B.Q.wang, D.P.Yu,Y. Lep-rince-wanctural and optical properties of electrodeposited CuO Films," Thin Solid Films 517,(2008) 617-621.
7. W.R.Salch,N.M.Saeed, W.A.Twej, M.Al-wan," Synthesis Sol-Gel Derived Highly Transparent CuO Thin Films For optelec-tronic Application," Advances in Materials Physics and chemistry,2,(2012) 11-16.
8. J.Ebothe, A.EL Hichou, P.vautrot, M.Addou, Flow Rate and Interface Roughness of CuO Thin Films Deposition By Spray physics,93, (2003) 632-637-517,(2008) 617-621.
9. نعيمة احمد اسود (2202) الخصائص التركيبية والبصرية لاغشية OnZ:OuC والمحضره بطريقة التحليل الكيميائي الحراري،» رسالة ماجستير كلية التربية للعلوم الصرفة جامعة تكريت.
10. khawla S. Khashan Dr.Jehan A.Saimon, Dr.Azhar.I.Hassan," Optical Properties of CuO Thin Films With Different Concentration by spray pyrolysis Method," End δ Tech. Juornal, 32(1) (20140.
11. Z.S. Razzaq," Aluminum doping Nanotruc-tured CuO Thin Films to enhancement

### الاستنتاجات Conclusions

من خلال البحث ومن خلال النتائج التي حصلنا عليها ان الاغشية المحضره كانت ذات تركيب متعدد التبلور (Polycrystalline) ومن النوع احادي الميل (Monoclinic) وذلك لما تم الحصول عليه من نتائج فحص (XRD)، وتبين من خلال فحص مجهر القوة الذرية (AFM) زيادة في قيم معدل خشونة السطح ومتوسط الجذر التربيعي مع زيادة السمك، وكما بينت الفحوصات البصرية زيادة في الامتصاصية مع زيادة سمك الغشاء، حيث لوحظ ان هذه الزيادة ادت الى نقصان في فجوة الطاقة، ونقصان في التفافية ، وزيادة في معامل الامتصاص، اظهرت دراسة تأثير هول (Hall Effect) ان اغشية اوكسيد النحاس هي من النوع (P- type) وان تركيز حاملات الشحنة (nH) يزداد مع زيادة سمك الغشاء مع انخفاض قيمة الاحتمالية (H μ) ولوحظ زيادة حساسية اغشية (CuO) عند زيادة درجة حرارة التشغيل .

- Some Physical properties," J.Educ, vol. 3,pp.45-52,2021.
12. R.M.Thyab, M.A.H.AL.hilo,E.A. Yasseen,H. Alshater E.G.Blall, and M.A.Abdel-lateef," In Fluence of Aluminum poping on structural and optical properties of the Nanostructured copper Oxide Thin Films prepared by Csp Method," Neuro Quantology,vol.20, No.3,pp.99-104,2022, doi:10.14704/nq.2022.3.NQ22048.
  13. Z.T.Khudair and A.A.H," Effect of Aluminum Doping on structural properties of CuO Thin Film prepared by chemical spray pyrdysis (CSP) Technique," DIYALAJ. PVRE SCINCES, vol.13, no.3, pp.198.208,2017.
  14. Habubi, N.F., Mishjal, K.H.and Ziad·T.K. journal of College Education, Almustansyiah University, (2002).
  15. F.Daglekn, Z.Serbetci, R.K.Guptaoand F.Yakuphanoglu,' preparation of nanostructured Bi- doped Cdo Thin Fims by sol-gel spin coating method " Mater.Lett,vol. 80,pp.127-130,2012.
  16. A.A. khadayeir et al ' The effect of substrate temperature on the physical properties of copper oxide Films," J.phys. conf,vol.1294,no.2,2019,doi:10, 1088/1742-6596/1294/2/022009.
  17. Zhang Y.Z.,Liu Y.P. WuL.H.LiH. HanL.Z.Wang B.C.and Xie E. Q.2009," Effect of annealing atmosphere on the photoluminescence of CuO nanospheres," Appl. Surf. Sci. 255 -4801-5.
  18. Z.S.Razzaq," Aluminum doping Nanostructured CuO Thin Films to enhancement some physical properties," J.Educ,vol.3,pp.45-52,2021.